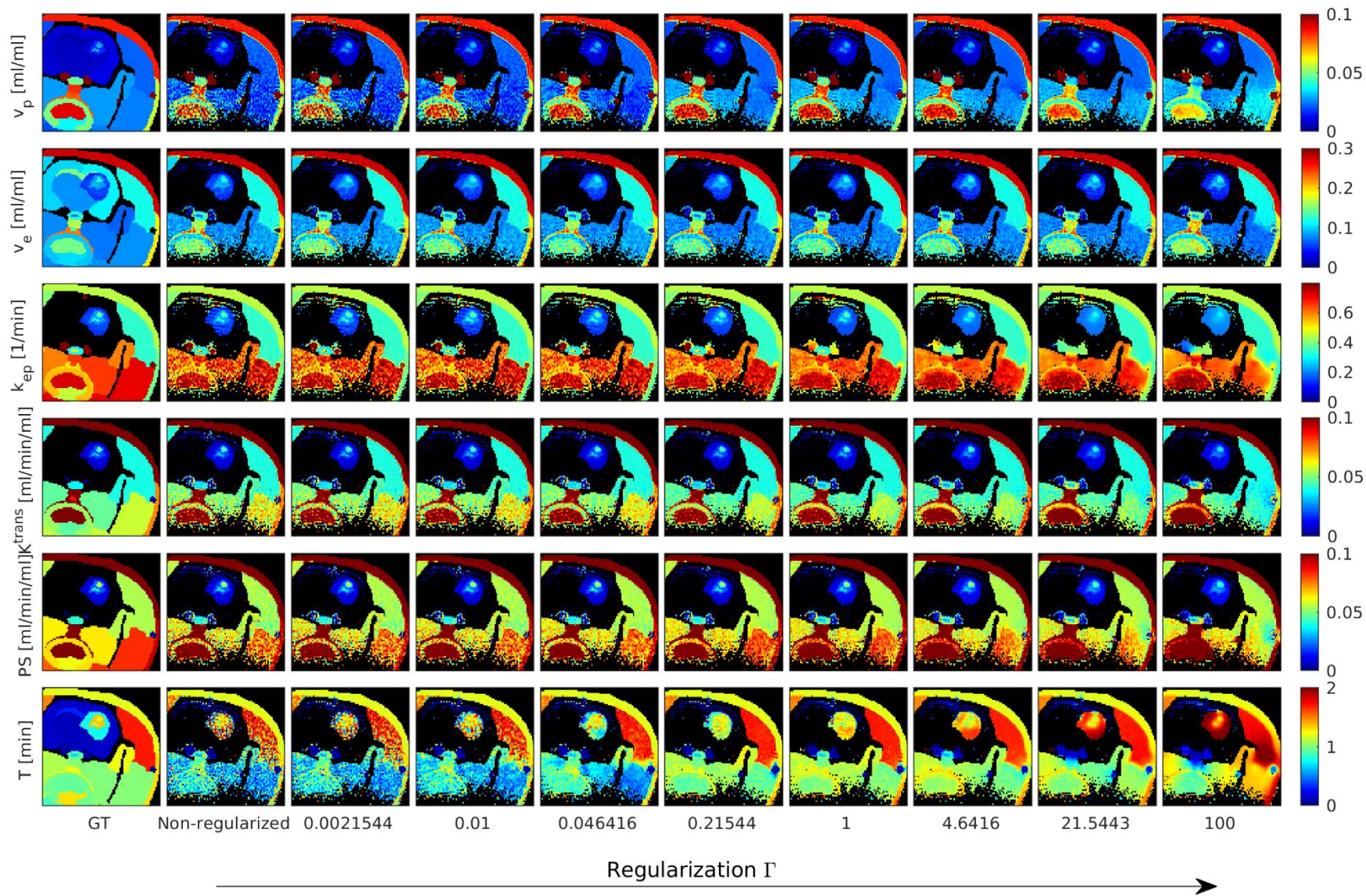
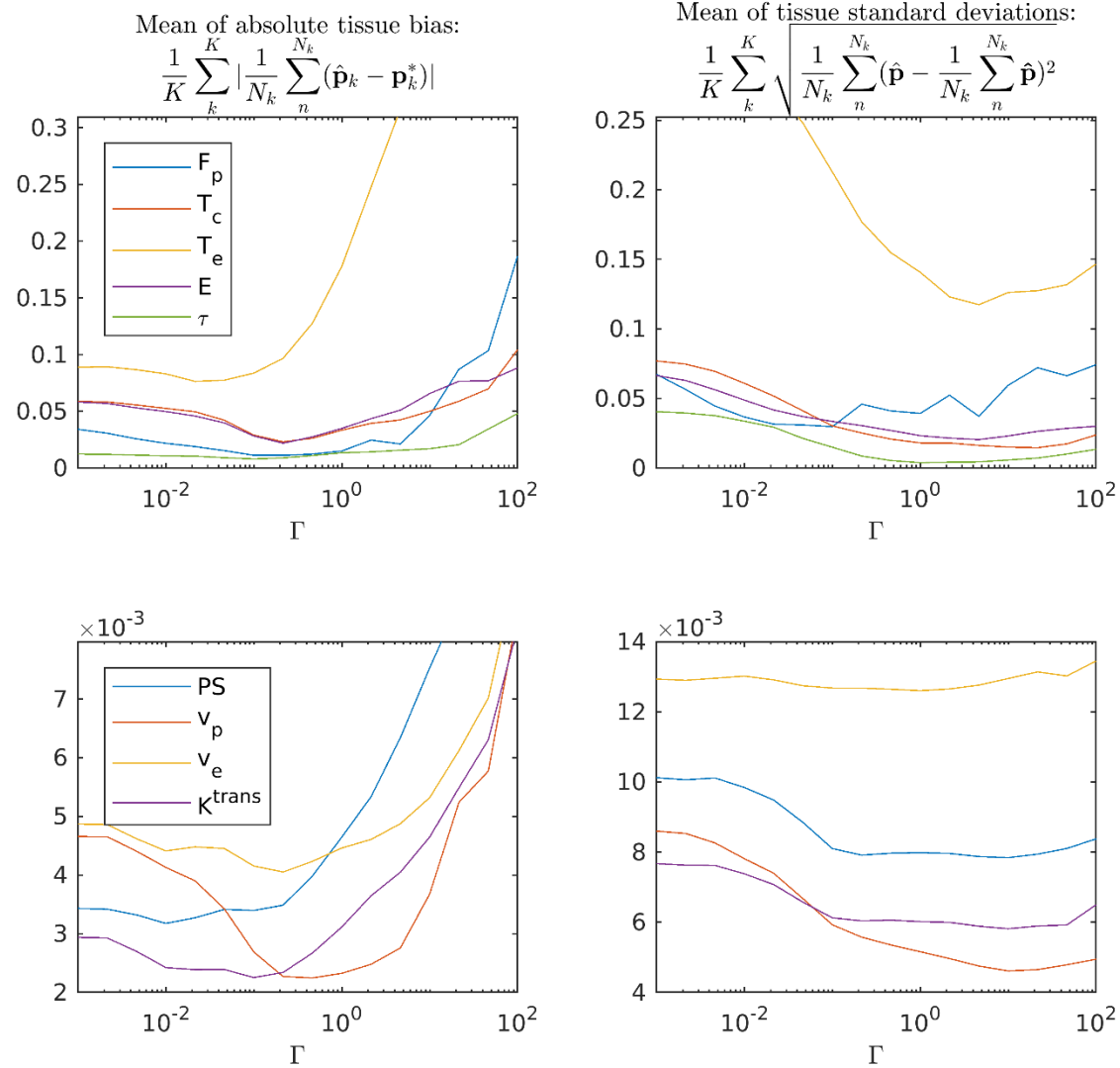


Supporting Information Figure S1 Effect of the global regularization weight Γ on perfusion parameters estimated from the numerical rat phantom in comparison with the ground truth (GT). Estimates of the regularized perfusion parameters and the reduced χ^2 metric are shown for selected regularization weights. The location of the used close-up is defined in Figure 1.



Supporting Information Figure S2 Effect of the global regularization weight Γ on perfusion parameters estimated from the numerical rat phantom in comparison with the ground truth (GT). Estimates of the derived perfusion parameters and for selected regularization weights are shown in a close-up defined in Figure 1.



Supporting Information Figure S3 Simulated data, effect of the regularization weight Γ on the bias (estimated within a tissue) averaged using its absolute value over all tissues (left column) for the regularized parameters (top) and for the derived parameters (bottom). Similarly, the mean of tissue standard deviations is shown (measure of precision - right column). In the formulas, K, k relate to tissue indices and N, n relate to indices of voxels inside the tissues.

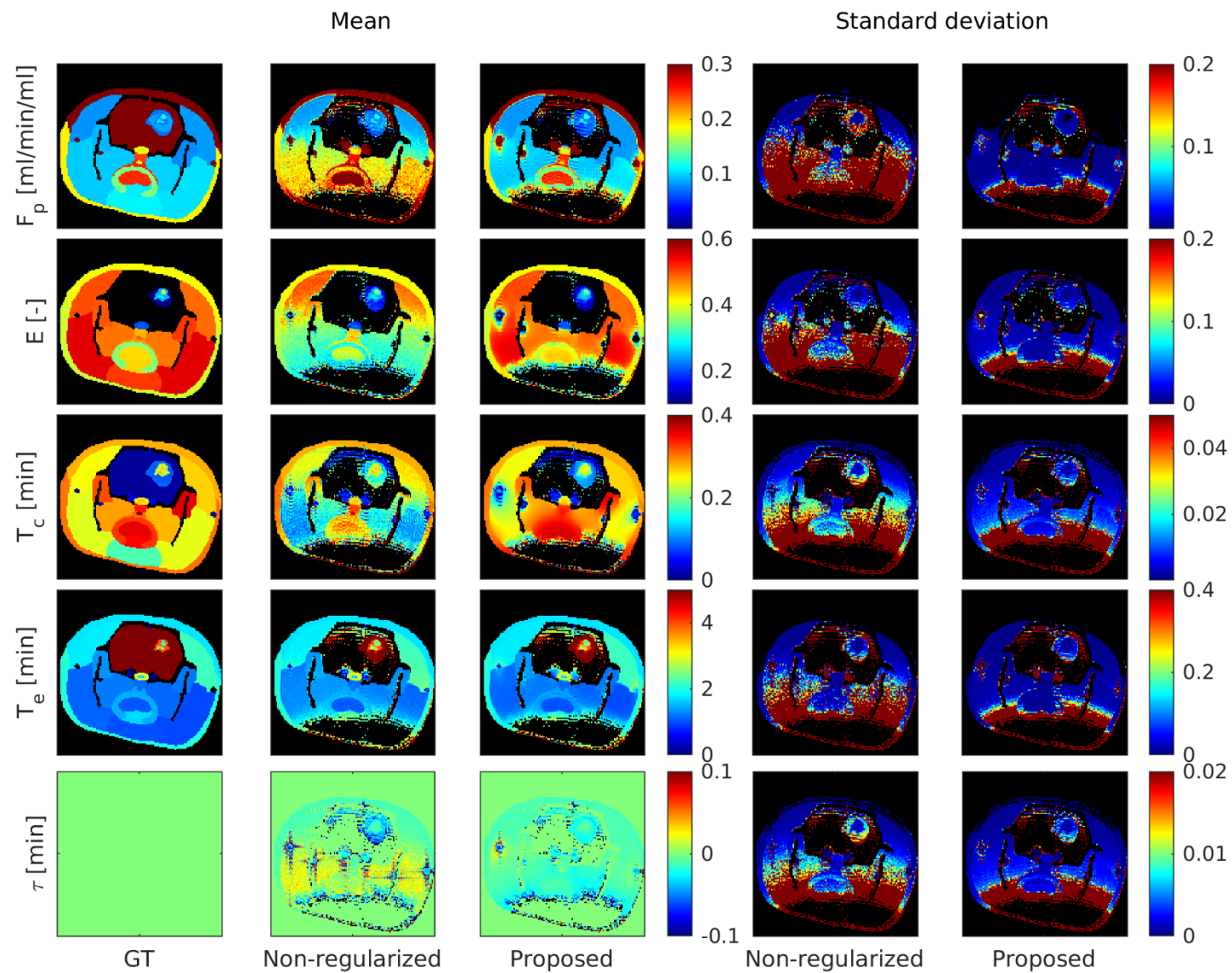
Supporting Information Table S1: Quantitative comparison of the proposed TV-regularized (TV) and non-regularized voxel-wise (VW) estimations from a single noise realization with the ground truth of the numerical rat phantom. The mean, μ , and standard deviation, σ , of the estimates are evaluated within a tissue region. Bold values indicate the lowest bias and the highest precision.

Tissue ^a [label]	Area [voxels]	SNR ^b [dB]	Method	F_p [ml/ml/min]		T_c [min]		T_e [min]		E [-]		PS [ml/ml/min]		v_p [ml/ml]		v_e [ml/ml]		K^{trans} [ml/ml/min]		k_{ep} [1/min]		τ [min]	
				μ	σ	μ	σ	μ	σ	μ	σ	μ	σ	μ	σ	μ	σ	μ	σ	μ	σ	μ	σ
1	712	31.8	GT	0.30		0.28		1.75		0.41		0.158		0.084		0.28		0.12		0.45		0.00	
			VW	0.30	0.04	0.28	0.01	1.74	0.03	0.41	0.02	0.157	0.010	0.084	0.008	0.27	0.02	0.12	0.01	0.45	0.01	-0.01	0.01
			TV	0.30	0.04	0.28	0.01	1.74	0.03	0.41	0.01	0.157	0.010	0.084	0.008	0.27	0.02	0.12	0.01	0.45	0.01	-0.01	0.01
41	1	23.0	GT	0.13		0.27		1.85		0.41		0.067		0.033		0.12		0.05		0.42		0.00	
			VW	0.12		0.24		1.95		0.39		0.060		0.029		0.12		0.05		0.41		-0.01	
			TV	0.13		0.23		1.99		0.37		0.058		0.029		0.12		0.05		0.40		0.00	
39	5	22.1	GT	0.12		0.23		1.98		0.39		0.060		0.028		0.12		0.05		0.40		0.00	
			VW	0.12	0.01	0.27	0.03	2.09	0.09	0.38	0.02	0.058	0.003	0.032	0.001	0.12	0.00	0.05	0.00	0.38	0.01	-0.01	0.01
			TV	0.13	0.00	0.25	0.01	2.12	0.09	0.36	0.02	0.057	0.003	0.031	0.001	0.12	0.00	0.05	0.00	0.38	0.01	0.00	0.00
37	7	20.9	GT	0.12		0.27		2.39		0.35		0.050		0.032		0.12		0.04		0.34		0.00	
			VW	0.11	0.02	0.27	0.04	2.49	0.26	0.34	0.04	0.045	0.009	0.028	0.004	0.11	0.01	0.04	0.01	0.33	0.03	-0.01	0.02
			TV	0.11	0.01	0.24	0.01	2.52	0.27	0.32	0.03	0.045	0.009	0.028	0.004	0.11	0.01	0.04	0.01	0.33	0.03	0.00	0.00
11	633	20.5	GT	0.08		0.25		1.79		0.50		0.056		0.020		0.10		0.04		0.40		0.00	
			VW	0.16	0.65	0.22	0.07	1.84	0.14	0.46	0.09	0.056	0.008	0.021	0.018	0.10	0.01	0.04	0.01	0.41	0.01	0.00	0.07
			TV	0.15	0.62	0.23	0.05	1.82	0.10	0.47	0.08	0.056	0.007	0.022	0.017	0.10	0.01	0.04	0.01	0.41	0.01	0.00	0.03
40	4	18.4	GT	0.12		0.29		2.23		0.30		0.042		0.035		0.09		0.04		0.38		0.00	
			VW	0.12	0.01	0.26	0.04	2.41	0.20	0.28	0.03	0.039	0.004	0.030	0.002	0.09	0.00	0.03	0.00	0.36	0.02	-0.01	0.02
			TV	0.12	0.01	0.24	0.01	2.45	0.17	0.26	0.01	0.038	0.004	0.030	0.001	0.09	0.00	0.03	0.00	0.35	0.02	-0.01	0.00
12	612	17.9	GT	0.08		0.27		2.17		0.48		0.054		0.022		0.12		0.04		0.34		0.00	
			VW	0.13	0.41	0.23	0.09	2.24	0.20	0.43	0.10	0.054	0.008	0.022	0.014	0.12	0.01	0.04	0.01	0.34	0.02	0.00	0.04
			TV	0.11	0.35	0.25	0.04	2.18	0.12	0.47	0.06	0.055	0.007	0.023	0.013	0.12	0.01	0.04	0.01	0.34	0.02	-0.01	0.01
38	8	17.2	GT	0.11		0.25		2.77		0.27		0.034		0.027		0.09		0.03		0.31		0.00	
			VW	0.11	0.02	0.25	0.04	2.92	0.30	0.26	0.02	0.032	0.004	0.026	0.002	0.09	0.00	0.03	0.00	0.30	0.03	-0.01	0.02
			TV	0.11	0.01	0.23	0.01	2.95	0.31	0.25	0.01	0.032	0.004	0.026	0.002	0.09	0.00	0.03	0.00	0.30	0.03	-0.01	0.01
36	57	15.4	GT	0.07		0.22		3.97		0.25		0.021		0.016		0.08		0.02		0.22		0.00	
			VW	0.08	0.02	0.22	0.05	3.95	0.54	0.25	0.04	0.022	0.005	0.017	0.004	0.08	0.01	0.02	0.00	0.22	0.03	-0.01	0.02
			TV	0.08	0.01	0.20	0.03	3.96	0.50	0.24	0.03	0.022	0.005	0.016	0.004	0.08	0.01	0.02	0.00	0.22	0.03	-0.01	0.01
2	450	14.9	GT	0.19		0.30		2.05		0.39		0.093		0.058		0.19		0.07		0.39		0.00	
			VW	0.24	0.34	0.27	0.09	2.08	0.21	0.36	0.07	0.093	0.012	0.055	0.015	0.19	0.03	0.07	0.01	0.39	0.03	0.00	0.04
			TV	0.21	0.27	0.29	0.04	2.02	0.16	0.39	0.04	0.094	0.010	0.057	0.013	0.19	0.02	0.07	0.01	0.39	0.02	-0.01	0.02
25	53	13.8	GT	0.24		0.34		1.14		0.45		0.145		0.083		0.16		0.11		0.66		0.00	
			VW	0.26	0.04	0.31	0.07	1.18	0.18	0.42	0.06	0.142	0.026	0.079	0.014	0.16	0.02	0.11	0.02	0.66	0.07	0.00	0.03
			TV	0.25	0.03	0.32	0.01	1.17	0.16	0.43	0.04	0.141	0.022	0.080	0.009	0.16	0.02	0.11	0.02	0.66	0.06	-0.01	0.01
26	74	12.8	GT	0.25		0.31		1.43		0.46		0.159		0.078		0.23		0.12		0.52		0.00	
			VW	0.28	0.07	0.26	0.10	1.46	0.14	0.42	0.07	0.146	0.028	0.066	0.016	0.21	0.04	0.11	0.02	0.53	0.04	0.00	0.04
			TV	0.23	0.03	0.33	0.01	1.40	0.08	0.47	0.02	0.145	0.023	0.074	0.011	0.20	0.03	0.11	0.02	0.53	0.03	-0.02	0.01

Tissue ^a	Area	SNR ^b	Method	F_p		T_c		T_e		E		PS		v_p		v_e		K^{trans}		k_{ep}		τ	
				[ml/ml/min]		[min]		[min]		[-]		[ml/ml/min]		[ml/ml]		[ml/ml]		[ml/ml/min]		[1/min]		[min]	
				μ	σ	μ	σ	μ	σ	μ	σ	μ	σ	μ	σ	μ	σ	μ	σ	μ	σ	μ	σ
14	204	12.3	GT	0.09		0.32		1.34		0.49		0.062		0.029		0.08		0.04		0.54		0.00	
			VW	0.16	0.42	0.25	0.12	1.42	0.15	0.42	0.11	0.062	0.007	0.027	0.016	0.09	0.01	0.05	0.01	0.55	0.04	0.00	0.05
			TV	0.13	0.33	0.28	0.05	1.37	0.10	0.46	0.07	0.062	0.006	0.029	0.014	0.09	0.01	0.05	0.01	0.55	0.03	0.00	0.01
27	11	12.0	GT	0.18		0.46		1.12		0.49		0.118		0.080		0.13		0.09		0.65		0.00	
			VW	0.36	0.38	0.27	0.17	1.18	0.14	0.41	0.13	0.136	0.016	0.059	0.022	0.16	0.02	0.11	0.01	0.67	0.10	0.02	0.04
			TV	0.20	0.02	0.33	0.00	1.15	0.11	0.47	0.01	0.131	0.009	0.067	0.005	0.15	0.02	0.10	0.01	0.65	0.07	0.00	0.01
23	46	10.4	GT	0.19		0.26		2.99		0.20		0.042		0.048		0.13		0.04		0.30		0.00	
			VW	0.40	1.02	0.25	0.08	2.94	0.35	0.19	0.07	0.043	0.010	0.061	0.051	0.13	0.02	0.04	0.01	0.31	0.04	0.01	0.13
			TV	0.42	1.01	0.24	0.06	2.88	0.27	0.19	0.06	0.044	0.010	0.060	0.050	0.13	0.02	0.04	0.01	0.32	0.04	-0.01	0.02
35	116	8.7	GT	0.09		0.08		6.11		0.10		0.010		0.007		0.06		0.01		0.16		0.00	
			VW	0.07	0.06	0.16	0.09	6.11	1.52	0.18	0.09	0.010	0.002	0.008	0.003	0.06	0.01	0.01	0.00	0.15	0.03	-0.04	0.06
			TV	0.07	0.03	0.12	0.02	5.88	0.53	0.15	0.03	0.010	0.002	0.008	0.003	0.06	0.01	0.01	0.00	0.16	0.02	-0.02	0.01
24	11	8.7	GT	0.17		0.27		1.73		0.21		0.041		0.048		0.07		0.04		0.52		0.00	
			VW	0.18	0.03	0.26	0.07	1.92	0.43	0.19	0.04	0.039	0.005	0.046	0.009	0.07	0.01	0.03	0.00	0.49	0.11	0.00	0.03
			TV	0.18	0.02	0.27	0.01	1.98	0.36	0.19	0.01	0.037	0.004	0.047	0.007	0.07	0.02	0.03	0.00	0.47	0.09	-0.01	0.00
18	228	7.3	GT	0.25		0.36		1.05		0.43		0.140		0.089		0.15		0.11		0.73		0.00	
			VW	0.32	0.13	0.28	0.12	1.08	0.18	0.38	0.08	0.144	0.038	0.078	0.024	0.15	0.03	0.11	0.03	0.75	0.11	0.01	0.04
			TV	0.25	0.04	0.36	0.00	1.05	0.10	0.42	0.01	0.136	0.022	0.087	0.013	0.14	0.03	0.10	0.02	0.74	0.07	-0.01	0.00
34	97	7.2	GT	0.07		0.09		6.93		0.10		0.007		0.006		0.05		0.01		0.14		0.00	
			VW	0.07	0.07	0.16	0.08	7.13	1.91	0.16	0.09	0.007	0.002	0.007	0.003	0.05	0.01	0.01	0.00	0.14	0.03	-0.04	0.06
			TV	0.06	0.02	0.11	0.02	6.37	0.40	0.12	0.05	0.007	0.002	0.007	0.002	0.05	0.01	0.01	0.00	0.15	0.01	-0.02	0.01
13	182	7.1	GT	0.08		0.36		1.20		0.51		0.055		0.028		0.07		0.04		0.60		0.00	
			VW	0.19	0.56	0.19	0.13	1.33	0.19	0.36	0.11	0.058	0.010	0.022	0.019	0.08	0.01	0.05	0.01	0.61	0.07	0.02	0.05
			TV	0.21	1.22	0.33	0.06	1.21	0.11	0.50	0.05	0.058	0.007	0.029	0.018	0.07	0.01	0.04	0.01	0.60	0.05	-0.01	0.01
20	772	7.1	GT	0.10		0.24		1.10		0.55		0.077		0.023		0.09		0.05		0.63		0.00	
			VW	0.21	0.36	0.13	0.11	1.33	0.23	0.35	0.12	0.070	0.011	0.019	0.011	0.09	0.01	0.06	0.01	0.62	0.08	0.02	0.07
			TV	0.13	0.25	0.22	0.06	1.20	0.18	0.49	0.08	0.073	0.008	0.024	0.009	0.09	0.01	0.05	0.01	0.62	0.06	0.00	0.03
15	430	5.3	GT	0.10		0.29		1.23		0.48		0.063		0.028		0.08		0.05		0.60		0.00	
			VW	0.20	0.46	0.17	0.12	1.38	0.22	0.33	0.10	0.063	0.012	0.024	0.016	0.09	0.02	0.05	0.01	0.61	0.09	0.01	0.06
			TV	0.13	0.43	0.29	0.05	1.27	0.13	0.46	0.05	0.063	0.010	0.030	0.013	0.08	0.02	0.05	0.01	0.59	0.06	-0.02	0.01
21	458	4.4	GT	0.10		0.24		0.97		0.55		0.083		0.025		0.08		0.06		0.71		0.00	
			VW	0.22	0.27	0.12	0.09	1.21	0.24	0.33	0.10	0.075	0.014	0.020	0.012	0.09	0.02	0.06	0.01	0.70	0.12	0.02	0.05
			TV	0.15	0.52	0.22	0.05	1.07	0.20	0.49	0.07	0.078	0.009	0.025	0.008	0.08	0.02	0.06	0.01	0.69	0.08	0.00	0.01
17	196	3.6	GT	0.15		0.33		1.48		0.35		0.065		0.049		0.10		0.05		0.55		0.00	
			VW	0.22	0.09	0.25	0.13	1.55	0.31	0.30	0.08	0.073	0.021	0.047	0.016	0.11	0.03	0.06	0.02	0.56	0.10	0.00	0.05
			TV	0.15	0.05	0.34	0.03	1.41	0.21	0.39	0.04	0.076	0.018	0.051	0.010	0.11	0.03	0.06	0.01	0.57	0.07	-0.02	0.02

^a – position of the labels can be found in Figure 1

^b – mean SNR in the tissue



Supporting Information Figure S4 Effect of the regularization (Proposed, $\Gamma = 0.22$) on the mean and standard deviation of the perfusion-parameter estimates from 50 noise realizations of the numerical rat phantom in comparison with the ground truth (GT).

Supporting Information Table S2: Statistical quantitative comparison of the proposed TV-regularized (TV) and non-regularized voxel-wise (VW) estimations from 50 noise realizations with the ground truth of the numerical rat phantom. The estimation statistic is expressed as the mean and standard deviation shown in Figure S4 averaged within each tissue region, denoted as μ and σ , respectively. Bold values indicate the lowest bias and the highest precision. ##### represents values out of range caused by an outlier.

Tissue ^a [label]	Area ^b [voxels]	SNR ^c [dB]	Method	F_p [ml/ml/min]		T_c [min]		T_e [min]		E [-]		PS [ml/ml/min]		v_p [ml/ml]		v_e [ml/ml]		K^{trans} [ml/ml/min]		k_{ep} [1/min]		τ [min]	
				μ	σ	μ	σ	μ	σ	μ	σ	μ	σ	μ	σ	μ	σ	μ	σ	μ	σ	μ	σ
1	712	31.8	GT	0.30		0.28		1.75		0.41		0.158		0.084		0.28		0.12		0.45		0.00	
			VW	0.30	0.00	0.28	0.00	1.74	0.00	0.41	0.00	0.157	0.001	0.084	0.000	0.27	0.00	0.12	0.00	0.45	0.00	-0.01	0.00
			TV	0.30	0.00	0.28	0.00	1.74	0.00	0.41	0.00	0.157	0.000	0.084	0.000	0.27	0.00	0.12	0.00	0.45	0.00	-0.01	0.00
41	1	23.0	GT	0.13		0.27		1.85		0.41		0.067		0.033		0.12		0.05		0.42		0.00	
			VW	0.12	0.00	0.24	0.00	1.88	0.00	0.41	0.00	0.064	0.002	0.029	0.001	0.12	0.00	0.05	0.00	0.42	0.01	-0.01	0.00
			TV	0.12	0.00	0.24	0.00	1.91	0.00	0.39	0.00	0.062	0.001	0.030	0.000	0.12	0.00	0.05	0.00	0.41	0.00	-0.01	0.00
39	5	22.1	GT	0.12		0.23		1.98		0.39		0.060		0.028		0.12		0.05		0.40		0.00	
			VW	0.12	0.00	0.26	0.00	2.09	0.00	0.38	0.00	0.058	0.001	0.031	0.001	0.12	0.00	0.05	0.00	0.38	0.00	-0.01	0.00
			TV	0.13	0.00	0.25	0.00	2.12	0.00	0.36	0.00	0.058	0.001	0.031	0.000	0.12	0.00	0.05	0.00	0.38	0.00	-0.01	0.00
37	7	20.9	GT	0.12		0.27		2.39		0.35		0.050		0.032		0.12		0.04		0.34		0.00	
			VW	0.11	0.00	0.27	0.00	2.54	0.00	0.33	0.00	0.045	0.001	0.029	0.001	0.11	0.00	0.04	0.00	0.33	0.00	-0.01	0.00
			TV	0.12	0.00	0.25	0.00	2.57	0.00	0.32	0.00	0.044	0.001	0.029	0.000	0.11	0.00	0.04	0.00	0.33	0.00	-0.01	0.00
11	633	20.5	GT	0.08		0.25		1.79		0.50		0.056		0.020		0.10		0.04		0.40		0.00	
			VW	0.16	0.03	0.22	0.01	1.83	0.09	0.46	0.06	0.056	0.028	0.021	0.011	0.10	0.06	0.04	0.02	0.41	0.16	0.00	0.00
			TV	0.15	0.01	0.23	0.00	1.81	0.06	0.47	0.04	0.057	0.020	0.022	0.007	0.10	0.04	0.04	0.01	0.41	0.10	-0.01	0.00
40	4	18.4	GT	0.12		0.29		2.23		0.30		0.042		0.035		0.09		0.04		0.38		0.00	
			VW	0.12	0.00	0.28	0.00	2.40	0.00	0.29	0.00	0.038	0.001	0.032	0.001	0.09	0.00	0.03	0.00	0.35	0.01	-0.01	0.00
			TV	0.12	0.00	0.25	0.00	2.44	0.00	0.27	0.00	0.038	0.001	0.031	0.000	0.09	0.00	0.03	0.00	0.35	0.00	0.00	0.00
12	612	17.9	GT	0.08		0.27		2.17		0.48		0.054		0.022		0.12		0.04		0.34		0.00	
			VW	0.13	0.07	0.23	0.01	2.24	0.16	0.43	0.10	0.054	0.049	0.022	0.024	0.12	0.13	0.04	0.04	0.34	0.20	0.00	0.00
			TV	0.11	0.02	0.26	0.00	2.18	0.09	0.47	0.05	0.055	0.024	0.023	0.011	0.12	0.07	0.04	0.02	0.34	0.10	-0.01	0.00
38	8	17.2	GT	0.11		0.25		2.77		0.27		0.034		0.027		0.09		0.03		0.31		0.00	
			VW	0.10	0.00	0.26	0.00	2.86	0.00	0.28	0.00	0.032	0.001	0.026	0.001	0.09	0.00	0.03	0.00	0.30	0.01	-0.01	0.00
			TV	0.11	0.00	0.24	0.00	2.90	0.00	0.26	0.00	0.032	0.001	0.025	0.001	0.09	0.00	0.03	0.00	0.30	0.00	-0.01	0.00
36	57	15.4	GT	0.07		0.22		3.97		0.25		0.021		0.016		0.08		0.02		0.22		0.00	
			VW	0.08	0.01	0.23	0.01	3.95	0.01	0.25	0.01	0.022	0.002	0.017	0.004	0.08	0.01	0.02	0.00	0.22	0.01	-0.01	0.00
			TV	0.08	0.00	0.21	0.00	3.96	0.01	0.24	0.00	0.022	0.001	0.016	0.001	0.08	0.00	0.02	0.00	0.22	0.01	-0.01	0.00
25	53	13.8	GT	0.24		0.34		1.14		0.45		0.145		0.083		0.16		0.11		0.66		0.00	
			VW	0.26	0.02	0.32	0.01	1.19	0.00	0.42	0.01	0.141	0.021	0.080	0.005	0.16	0.02	0.11	0.02	0.65	0.04	0.00	0.00
			TV	0.24	0.00	0.33	0.00	1.18	0.00	0.44	0.00	0.141	0.004	0.081	0.002	0.16	0.01	0.11	0.00	0.65	0.02	-0.01	0.00
26	74	12.8	GT	0.25		0.31		1.43		0.46		0.159		0.078		0.23		0.12		0.52		0.00	
			VW	0.29	0.10	0.27	0.01	1.47	0.03	0.41	0.04	0.145	0.068	0.069	0.021	0.21	0.10	0.11	0.05	0.53	0.13	0.00	0.00
			TV	0.23	0.00	0.33	0.00	1.42	0.01	0.46	0.00	0.143	0.007	0.076	0.003	0.20	0.01	0.11	0.00	0.53	0.02	-0.02	0.00
14	204	12.3	GT	0.09		0.32		1.34		0.49		0.062		0.029		0.08		0.04		0.54		0.00	
			VW	0.16	0.14	0.24	0.02	1.43	0.12	0.41	0.14	0.061	0.093	0.027	0.027	0.09	0.14	0.05	0.07	0.55	0.50	0.01	0.00
			TV	0.13	0.03	0.28	0.01	1.37	0.08	0.47	0.07	0.062	0.042	0.028	0.011	0.08	0.06	0.05	0.03	0.54	0.24	-0.01	0.00

Tissue ^a	Area ^b	SNR ^c	Method	F_p		T_c		T_e		E		PS		v_p		v_e		K^{trans}		k_{ep}		τ	
				[ml/ml/min]	[ml/ml/min]	[min]	[min]	[min]	[min]	[-]	[-]	[ml/ml/min]	[ml/ml/min]	[ml/ml]	[ml/ml]	[ml/ml/min]	[ml/ml/min]	[1/min]	[1/min]	[min]	[min]		
[label]	[voxels]	[dB]		μ	σ	μ	σ	μ	σ	μ	σ	μ	σ	μ	σ	μ	σ	μ	σ	μ	σ	μ	σ
27	11	12.0	GT	0.18		0.46		1.12		0.49		0.118		0.080		0.13		0.09		0.65		0.00	
			VW	0.24	0.16	0.35	0.01	1.20	0.03	0.45	0.06	0.131	0.112	0.071	0.025	0.16	0.13	0.10	0.08	0.63	0.26	0.00	0.00
			TV	0.21	0.00	0.34	0.00	1.18	0.00	0.47	0.00	0.132	0.004	0.071	0.002	0.16	0.01	0.10	0.00	0.63	0.02	0.00	0.00
2	597	11.2	GT	0.19		0.30		2.05		0.39		0.093		0.058		0.19		0.07		0.39		0.00	
			VW	0.41	#####	0.29	#####	2.37	#####	0.35	#####	0.229	#####	0.214	#####	0.55	#####	0.15	#####	0.56	#####	-0.02	#####
			TV	0.39	#####	0.32	#####	2.31	#####	0.38	#####	0.216	#####	0.206	#####	0.53	#####	0.14	#####	0.50	#####	-0.03	#####
23	46	10.4	GT	0.19		0.26		2.99		0.20		0.042		0.048		0.13		0.04		0.30		0.00	
			VW	0.41	0.09	0.23	0.02	2.92	0.64	0.19	0.32	0.044	0.081	0.060	0.054	0.13	0.25	0.04	0.06	0.31	0.51	0.01	0.01
			TV	0.46	0.07	0.23	0.01	2.86	0.07	0.19	0.04	0.045	0.026	0.060	0.025	0.13	0.08	0.04	0.02	0.32	0.10	-0.01	0.00
35	116	8.7	GT	0.09		0.08		6.11		0.10		0.010		0.007		0.06		0.01		0.16		0.00	
			VW	0.08	0.20	0.15	0.04	6.04	1.77	0.18	0.43	0.010	0.042	0.008	0.076	0.06	0.26	0.01	0.03	0.16	0.38	-0.03	0.02
			TV	0.07	0.02	0.12	0.01	5.84	0.11	0.15	0.03	0.010	0.006	0.008	0.008	0.06	0.04	0.01	0.01	0.16	0.05	-0.02	0.01
24	11	8.7	GT	0.17		0.27		1.73		0.21		0.041		0.048		0.07		0.04		0.52		0.00	
			VW	0.18	0.01	0.27	0.01	1.92	0.02	0.21	0.01	0.041	0.005	0.047	0.006	0.08	0.01	0.04	0.00	0.49	0.04	-0.01	0.00
			TV	0.18	0.00	0.26	0.00	1.97	0.01	0.20	0.00	0.039	0.002	0.047	0.003	0.08	0.00	0.04	0.00	0.47	0.03	-0.01	0.00
18	228	7.3	GT	0.25		0.36		1.05		0.43		0.140		0.089		0.15		0.11		0.73		0.00	
			VW	0.32	0.26	0.28	0.02	1.08	0.10	0.38	0.18	0.146	0.358	0.078	0.060	0.15	0.34	0.12	0.24	0.76	0.88	0.01	0.01
			TV	0.25	0.01	0.36	0.01	1.05	0.01	0.43	0.01	0.137	0.009	0.088	0.006	0.14	0.01	0.10	0.01	0.74	0.07	-0.01	0.00
13	183	7.0	GT	0.08		0.36		1.20		0.51		0.055		0.028		0.07		0.04		0.60		0.00	
			VW	0.20	0.35	0.20	0.04	1.35	0.42	0.36	0.53	0.056	0.349	0.023	0.081	0.07	0.45	0.05	0.26	0.61	2.11	0.02	0.01
			TV	0.16	0.03	0.32	0.01	1.22	0.04	0.49	0.04	0.057	0.017	0.028	0.008	0.07	0.03	0.04	0.01	0.60	0.14	-0.01	0.00
34	103	6.8	GT	0.07		0.09		6.93		0.10		0.007		0.006		0.05		0.01		0.14		0.00	
			VW	0.07	0.22	0.16	0.09	7.23	6.72	0.16	1.10	0.007	0.056	0.007	0.152	0.05	0.46	0.01	0.04	0.13	0.67	-0.03	0.04
			TV	0.06	0.03	0.10	0.04	6.36	0.59	0.12	0.09	0.007	0.008	0.006	0.018	0.05	0.05	0.01	0.01	0.15	0.09	-0.02	0.02
20	981	5.6	GT	0.10		0.24		1.10		0.55		0.077		0.023		0.09		0.05		0.63		0.00	
			VW	0.21	0.87	0.13	0.18	1.45	1.26	0.34	1.23	0.069	0.962	0.021	0.277	0.10	1.42	0.06	0.71	0.59	4.45	0.01	0.08
			TV	0.14	0.27	0.22	0.17	1.30	0.56	0.47	0.37	0.073	0.267	0.025	0.117	0.09	0.49	0.05	0.19	0.59	1.12	-0.01	0.07
15	447	5.1	GT	0.10		0.29		1.23		0.48		0.063		0.028		0.08		0.05		0.60		0.00	
			VW	0.20	0.48	0.16	0.05	1.40	0.60	0.33	0.72	0.062	0.506	0.024	0.118	0.09	0.67	0.05	0.38	0.60	2.82	0.02	0.02
			TV	0.13	0.06	0.28	0.03	1.27	0.14	0.46	0.13	0.063	0.072	0.029	0.021	0.08	0.11	0.05	0.05	0.59	0.46	-0.01	0.01
21	677	3.0	GT	0.10		0.24		0.97		0.55		0.083		0.025		0.08		0.06		0.71		0.00	
			VW	0.22	1.16	0.14	0.27	1.38	1.68	0.32	1.67	0.073	1.384	0.023	0.389	0.10	1.93	0.06	1.02	0.64	6.43	0.00	0.12
			TV	0.15	0.49	0.24	0.26	1.24	0.99	0.47	0.70	0.077	0.544	0.028	0.217	0.09	0.95	0.06	0.39	0.64	2.24	-0.02	0.11
17	273	2.6	GT	0.15		0.33		1.48		0.35		0.065		0.049		0.10		0.05		0.55		0.00	
			VW	0.23	0.35	0.26	0.16	1.70	0.62	0.29	0.34	0.071	0.327	0.049	0.159	0.12	0.52	0.06	0.23	0.53	1.21	-0.01	0.07
			TV	0.16	0.13	0.34	0.18	1.55	0.47	0.37	0.17	0.073	0.134	0.052	0.104	0.11	0.28	0.06	0.09	0.54	0.57	-0.02	0.07
16	466	2.3	GT	0.10		0.28		1.12		0.48		0.064		0.028		0.07		0.05		0.65		0.00	
			VW	0.21	0.76	0.17	0.18	1.44	1.10	0.31	1.11	0.062	0.841	0.026	0.232	0.09	1.13	0.05	0.62	0.61	4.42	0.01	0.08
			TV	0.14	0.18	0.29	0.18	1.30	0.52	0.45	0.32	0.064	0.197	0.031	0.088	0.08	0.33	0.05	0.14	0.61	1.09	-0.03	0.07

^a – position of the labels can be found in Figure 1, ^b – Approximate number of voxels in the tissue, ^c – mean SNR in the tissue estimated from one noise realization